

Г. А. ПАНОСЯН

## СПЕКТРОФОТОМЕТРИЯ ГИСТОНОВ НОРМАЛЬНОЙ И РАКОВОЙ КЛЕТКИ

Превращение нормальной клетки в опухолевую является результатом нарушения регуляторных механизмов клетки. Изучение гистонов, предполагаемых регуляторов генетической активности, выделенных из опухолевых тканей, является задачей первостепенной важности. Нарушение регуляторных механизмов предполагает изменение либо гистонового состава опухолевой клетки, либо изменение тех или иных свойств различных гистоновых фракций.

Впервые гистоны опухолевых клеток были исследованы Стедман и Стедман в 1943 г. [9], которые показали, что в клетках карциномы Уокера крыс и мышиной карциномы 2146 содержание гистонов в ядрах значительно понижено. Подобные исследования были ими далее продолжены; в них также было показано, что большинство опухолей дает неnormally низкий выход гистонов. Крафт и др. [5] показали, что ядра из саркомы грудной железы человека дают лишь 4% гистонсульфата от сухого веса по сравнению с 25—30% в нормальных ядрах. С другой стороны, имеются данные, не указывающие на видимые изменения содержания гистонов в опухолевой клетке [6]. А некоторые авторы наблюдали даже увеличение количества гистонов в опухолевых тканях [8].

Имеется также ряд исследований, показывающих изменение не содержания гистона, а соотношения в нем отдельных фракций или вообще фракционного состава и метаболической активности этих фракций [5, 6, 10]. Эти данные указывают на то, что гистоны, действительно, должны либо играть существенную роль в процессах малигнизации, либо вторично подвергаться изменению в ходе этого процесса. И в том и в другом случае исследование роли и свойств гистонов и их отдельных фракций представляется чрезвычайно важным. Любой дополнительный факт обнаружения различий между гистонами нормальной и опухолевой клетки—еще один шаг на пути к выяснению роли гистонов в процессах злокачественной трансформации.

Ранее нами было показано, что спектрофотометрия гистонов, особенно в далекой ультрафиолетовой области, является удобным методом обнаружения различий между отдельными гистоновыми фракциями тимуса теленка, зависящими от их аминокислотного состава (неопубликованные данные).

В настоящем сообщении приводятся данные по спектрофотометрии в далекой ультрафиолетовой области гистонов, выделенных из тимуса теленка и двух линий асцитной саркомы Иошида, чувствительной к азо-

тистому иприту (т. е. обычная линия этой опухоли) и резистентной к нему. Последняя была выведена Уйгази и Винклером [10, 11] из чувствительной линии при обработке ее трис-(хлорэтил)-амин-гидрохлоридом в особых условиях обработки. Эта линия в течение 30 пассажей сохраняла свою резистентность без контакта с указанным веществом; далее резистентность терялась, но после повторной обработки тем же веществом быстро восстанавливалась. Некоторые сравнительные исследования данных двух линий опухоли Иошида были проведены Боллом и др. [1]. Исследование этих линий интересно в том отношении, что, будучи сходными по многим показателям (число хромосом, скорость роста, количество нуклеиновых кислот и белков и др.), они резко отличаются по своей чувствительности к алкилирующим агентам, в том числе к сарколизину [1]. Установление какого-либо различия в гистоновом составе между такими малоотличающимися объектами было бы исключительно важным для исследования роли гистонов в процессах регуляции биосинтеза белка и превращения нормальной клетки в раковую.

**Материал и методика.** Нефракционированный гистон (НФГ) тимуса теленка (ТТ) и резистентной (R-гистон) и чувствительной (S-гистон) к азотистому иприту линий саркомы Иошида экстрагировался обычным путем из тимусной железы и ядер клеток опухолей 0,25 М соляной кислотой после предварительного удаления растворимых в 0,9% NaCl белков многократной экстракцией при гомогенизировании. Электрофоретический анализ на полиакриламидном геле обнаружил лишь незначительную примесь негистонового белка в полученных препаратах гистона. Опухоль Иошида и ее резистентная линия, а также ядра из клеток этих опухолей было получены Т. Коннорсом с сотрудниками [1, 10, 11] и любезно предоставлены нам для выделения гистонов.

Спектрофотометрия полученных гистонов проводилась регистрирующим спектрофотометром Perkin-Elmer модели UV 137 в области 190—240 мкм. Спектры поглощения гистонов были получены в дистиллированной воде, 0,01 М HCl, 0,01 М NaOH, 0,9% NaCl и 0,1 М ацетатном буфере pH 4,5 (АБ). Работа проведена в Институте по исследованию рака им. Честер Битти Лондонского университета.

**Результаты.** Для сравнения на рис. 1 приведены спектры поглощения в далекой ультрафиолетовой области нефракционированного гистона тимуса теленка (НФГ ТТ) в различных средах. Они показывают, что условия среды, в которых проводятся измерения, сильно влияют на оптическую плотность и положение максимума. Спектры поглощения НФГ ТТ, R-гистона и S-гистона в тех же средах приведены на рис. 2 и 3, а цифровой материал для  $\lambda_{\max}$  и  $E_{1 \text{ см}}^{0,01\%}$  приведен в табл. 1.

Как показывают полученные результаты, в водном растворе опухолевые гистоны отличаются, хотя и незначительно, по расположению максимума от НФГ ТТ. Так, например, если  $\lambda_{\max}$  для гистона ТТ находится при 1935 Å, то для R-гистона он находится при 1925 Å, а для S-гистона — при 1920 Å. В 0,01 М HCl все гистоны имеют один и тот же  $\lambda_{\max}$  — 2115 Å. В 0,01 М NaOH соотношение  $\lambda_{\max}$  у этих трех гистонов обратное водному

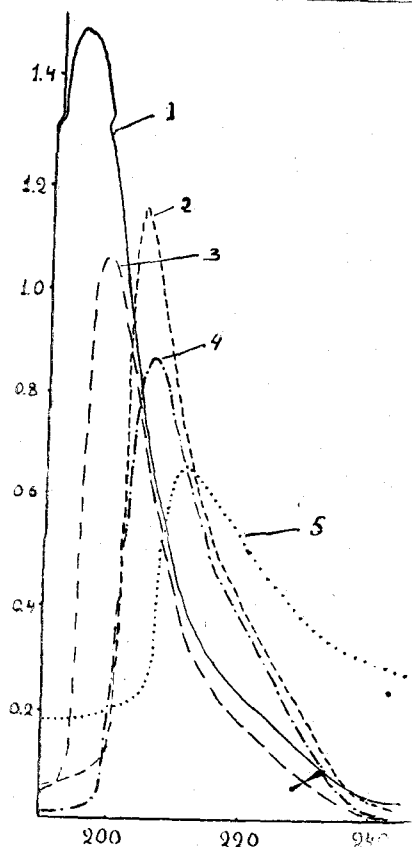


Рис. 1. Спектр поглощения нефракционированного гистона тимуса теленка в далекой ультрафиолетовой области в разных средах. По оси абсцисс — длина волны в мкм, по оси ординат — оптическая плотность. 1 —  $\text{H}_2\text{O}$ , 2 — 0,9%  $\text{NaCl}$ , 3 — 0,01 М  $\text{HCl}$ , 4 — 0,1 М ацетатный буфер рН 4,5, 5 — 0,01 М  $\text{NaOH}$ . Концентрация: 1 и 3 — 25 мкг/мл, 2, 4 и 5 — 50 мкг/мл.

Таблица 1

$\lambda_{\max}$  и  $E_{1 \text{ cm}}^{0.01\%}$  для нефракционированного гистона тимуса теленка и двух линий (R и S) саркомы Иошида в разных средах

Гистон	$\text{H}_2\text{O}$		HCl		NaOH		NaCl		АБ	
	$\lambda_{\max}$	E	$\lambda_{\max}$	E	$\lambda_{\max}$	E	$\lambda_{\max}$	E	$\lambda_{\max}$	E
НФГ ТТ	1935 Å	5,940	1990 Å	4,240	2110 Å	1,340	1995 Å	2,320	2015 Å	1,760
R-гистон	1925 Å	7,712	1990 Å	4,600	2115 Å	1,150	2015 Å	2,610	2015 Å	1,880
S-гистон	1920 Å	7,472	1990 Å	4,080	2125 Å	1,060	2015 Å	2,610	2015 Å	1,820

раствору: для гистона ТТ — 2110 Å, для R-гистона — 2115 Å и для S-гистона — 2125 Å. В 0,9%  $\text{NaCl}$   $\lambda_{\max}$  гистона ТТ отличается от R- и S-гистонов, у которых они одинаковы (1995 Å — для гистона ТТ и 2015 Å для R- и S-гистонов). В 0,1 М ацетатном буфере рН 4,5 максимум поглощения для всех трех гистонов находится при 2015 Å.

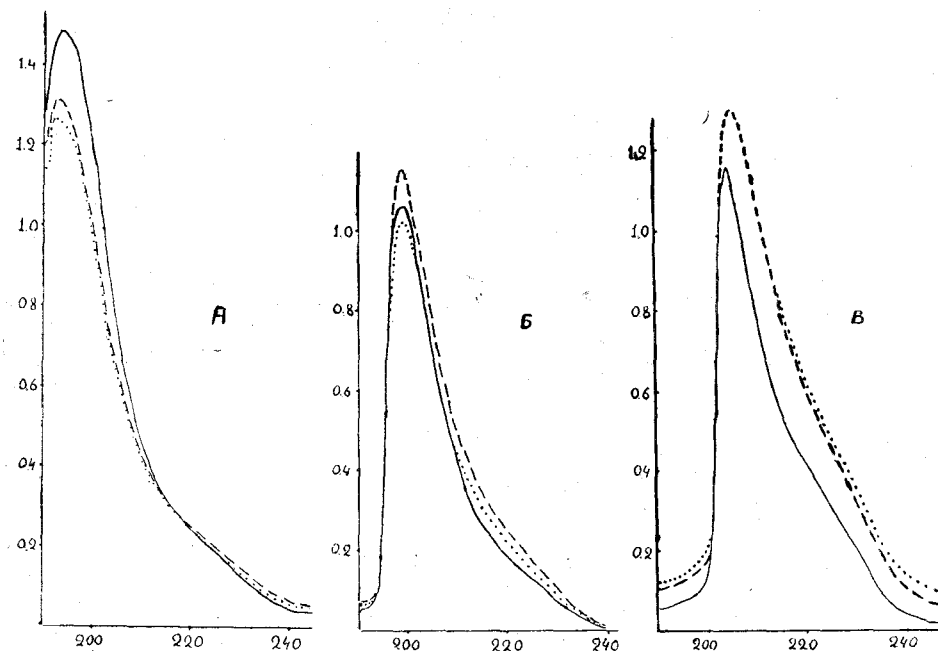


Рис. 2. Спектр поглощения нефракционированного гистона тимуса теленка, R-гистона и S-гистона в далекой ультрафиолетовой области в воде, 0,01 М HCl и 0,9% NaCl. По оси абсцис — длина волн в ммк, по оси ординат — оптическая плотность. — Т, — — — R-гистон, ······ — S-гистон. А —  $H_2O$ ; концентрация: ТТ — 25 мкг/мл. R- и S-гистон — по 17 мкг/мл. Б — 0,01 М HCl; концентрация 25 мкг/мл. В — 0,9% NaCl; концентрация 50 мкг/мл.

По величине оптической плотности ( $E_{1\text{cm}}^{0,01\%}$ ) гистоны различного происхождения также отличаются друг от друга. В водном растворе  $E_{1\text{cm}}^{0,01\%}$  разных гистонов значительно отличаются друг от друга, в особенности  $E_{1\text{cm}}^{0,01\%}$  опухолевых гистонов от  $E_{1\text{cm}}^{0,01\%}$  НФГ ТТ. Во всех остальных случаях эти различия гораздо меньшие. В исследованных средах  $E_{1\text{cm}}^{0,01\%}$  R-гистона больше, чем  $E_{1\text{cm}}^{0,01\%}$  S-гистона и НФГ ТТ. Исключением является 0,01 М NaOH, где НФГ ТТ имеет большую оптическую плотность, чем R-гистон. S-гистон поглощает в далекой ультрафиолетовой области больше, чем гистон ТТ в водном растворе, в 0,9% NaCl и в 0,1 М АБ, но меньше в 0,01 М HCl и в 0,01 М NaOH. Наибольшая разница между  $E_{1\text{cm}}^{0,01\%}$  R- и S-гистонов имеется в 0,01 М HCl; эта разница отсутствует в 0,9% NaCl.

Ранее нами было показано, что разные фракции гистона ТТ имеют характерные спектры поглощения в тех же условиях среды, что и в настоящей работе и что характер поглощения каждой отдельной фракции зависит от ее аминокислотного состава (неопубликованные данные). Если принять поглощение при  $\lambda_{\max}$  для НФГ ТТ в воде за единицу, то поглощение всех гистоновых фракций в разных средах можно будет сравнить друг с другом, и характер зависимости поглощения от условий среды укажет на принадлежность данного гистона к той или иной фракции. Эти относительные числа приведены в табл. 2.

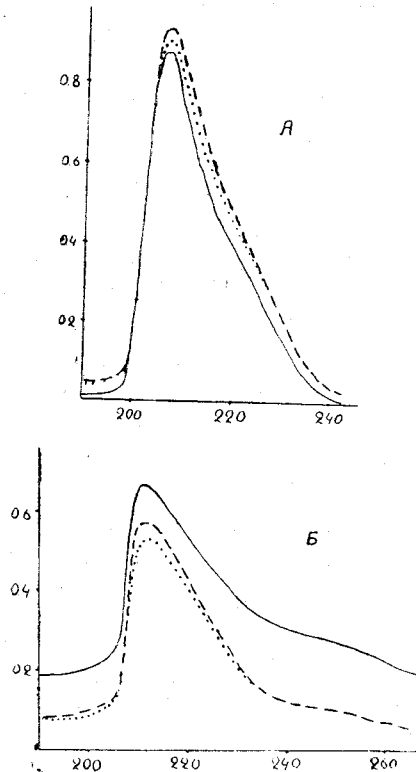


Рис. 3. Спектр поглощения нефракционированного гистона тимуса теленка, R-гистона и S-гистона в далекой ультрафиолетовой области в 0,1 М ацетатном буфере pH 4,5 и 0,01 М NaOH. Обозначения те же, что и на рис. 2. Концентрация 50 мкг/мл.  
А — ацетатный буфер, Б — 0,01 М NaOH.

Таблица 2

Относительная оптическая плотность в далекой ультрафиолетовой области разных гистонов ТТ в разных средах (оптическая плотность НФГ ТТ в воде принята за единицу)

Гистон	H <sub>2</sub> O	HCl	NaOH	NaCl	АБ
НФГ ТТ	1,000	0,712	0,225	0,386	0,295
F <sub>1</sub>	0,886	0,617	0,117	0,345	0,265
F <sub>2a1</sub>	1,349	0,772	0,205	0,400	0,272
F <sub>2a2</sub>	0,805	0,499	0,100	0,318	0,191
F <sub>2b</sub>	1,013	0,670	0,148	0,345	0,265
F <sub>3</sub>	1,027	0,676	0,168	0,358	0,258

Поскольку нами не проведено фракционирования R- и S-гистонов, их состав этих нефракционированных опухолевых гистонов неизвестен, мы сравнили относительные оптические плотности опухолевых гистонов с относительными оптическими плотностями разных фракций гистонов. Относительная оптическая плотность НФГ ТТ, R-гистона и S-гистона приведена в табл. 3. Сравнивая данные, приведенные в табл. 2 и 3, можно

Таблица 3

Относительная оптическая плотность нефракционированных гистонов ТТ и опухолей в разных растворах (за единицу принята оптическая плотность гистона ТТ в воде)

Гистон	H <sub>2</sub> O	HCl	NaON	NaCl	AB
НФГ ТТ	1,00	0,71	0,23	0,39	0,30
R-гистон	1,30	0,77	0,19	0,44	0,32
S-гистон	1,26	0,68	0,18	0,44	0,31

заметить удивительное совпадение значений, полученных для R-гистона и F<sub>2a1</sub>-фракции. S-гистон и F<sub>2a1</sub>-фракция отличаются по своему поведению в 0,01 М HCl.

Из этих данных можно прийти к весьма интересному выводу о том, что нефракционированный гистон резистентной и чувствительной к азотистому иприту линий опухоли Иошида отличаются по составу фракций и что в R-гистоне количество F<sub>2a1</sub>-фракции должно быть резко увеличенным по сравнению с количеством этой фракции в нефракционированном гистоне тимуса теленка.

В связи с этим возникает чрезвычайно интересный вопрос о зависимости резистентности опухоли к азотистому иприту от гистонового состава и роли в этом процессе фракции гистона опухоли, соответствующей F<sub>2a1</sub>-фракции гистона тимуса теленка.

**Выходы.** Проведено спектрофотометрическое исследование гистонов, выделенных из тимуса теленка и двух линий асцитной саркомы Иошида крыс, отличающихся чувствительностью к азотистому иприту и сарколизину (резистентная и чувствительная). Спектры поглощения полученных препаратов нефракционированных гистонов в далекой ультрафиолетовой области отличаются друг от друга, и это различие зависит от среды, в которой проводится измерение. R- и S-гистоны отличаются по своим спектрофотометрическим характеристикам от гистона тимуса теленка и друг от друга. Сравнение характера кривой поглощения в далекой ультрафиолетовой области R-гистона с кривыми поглощения различных фракций гистона тимуса теленка привело к предположению, что в R-гистоне имеется повышенное содержание фракции, соответствующей фракции F<sub>2a1</sub> гистона тимуса теленка.

Ереванский государственный университет,  
кафедра биофизики

Поступило 10.1 1968 г.

## Գ. Հ. ՓԱՆՈՒՅԱՆ

## ՆՈՐՄԱԼ ԵՎ ՔԱՂՑԿԵԴԱՅԻՆ ԲԶՋԻ ՀԻՍՏՈՆԵՐԻ ՍՊԵԿՏՐԱՖՈՏՈՄԵՏՐԻԱՆ

## Ա մ փ ո փ ո ւ մ

Կատարված է հորթի խպիպային գեղձից և իոշիդի ասցիտային սարկոմա-  
յի երկու ազոտային հիպրիտի ու սարկոլիզինի նկատմամբ զգայունությամբ  
տարբերվող գծերից անջատած հիստոների սպեկտրաֆոտոմետրիկ հետազո-  
տությունը:

Ստացված ամբողջական հիստոնային պրեպարատների կլանման սպեկ-  
տրոները ուղարամանուշակագույն ձառագայթների տիրութում տարբերվում են  
միմյանցից, և այդ տարբերությունը կախված է այն միջավայրից, որտեղ կա-  
տարվում է չափումը: Ռեզիստենտ (R) և զգայուն (S) գծերից ստացված հիս-  
տոնները իրենց սպեկտրաֆոտոմետրիկ հատկանիշներով տարբերվում են և  
հորթի խպիպային գեղձի հիստոնից, և՝ միմյանցից:

Հեռավոր ուղարամանուշակագույն տիրութում R-հիստոնի կլանման սպեկ-  
տրի բնույթի համեմատությունը խպիպային գեղձի հիստոնների տարբեր ֆրակ-  
ցիաների կլանման սպեկտրների հետ՝ բերել է այն ենթադրությանը, որ R-հիս-  
տոնում կա այնպիսի ֆրակցիայի ավելացած քանակություն, որը համապատաս-  
խանում է հորթի խպիպային գեղձի F<sub>2a1</sub> ֆրակցիային:

## Լ Ի Տ Ե Ր Ա Տ Ү Ր Ա

1. Ball C. R., Connors T. A., Double J. A., Ujhazy V., Whisson M. E. Int. J. Cancer, 1, 1966.
2. Busch H., Bijvoet P., Adams H. R. Exptl. Cell Res., Suppl. 9, 1963.
3. Busch H., Hnilica L. Su-Chen Chien, Davis J., Taylor C. W. Cancer Res., 22, 1962.
4. Butler J. A. V. Exptl Cell Res., Suppl. 9, 1963.
5. Cruft H. J., Mauritzen C. M., Stedman E. Nature, 174, 1954.
6. Laurence D. J. R., Simson P., Butler J. A. V. Biochem. J., 87, 1963.
7. MacGillivray A. J., Greenwood F. C. Biochem. J. 85, 39 (P), 1962.
8. Perugini S. Cancro 15, 2, 1962.
9. Stedman E., Stedman E. Nature 166, 780, 1950.
10. Ujhazy V., Winkler A. Neoplasma 12, 1965.
11. Ujhazy V., Winkler A. Folia biologica (Praha) 11, 1965.